

## دراسة عملية وعددية لمجمع شمسي خازن موشوري الشكل ذو مقطع مثلث قائم الزاوية

د. صباح طارق أحمد\*

تاريخ التسلم: 2004/12/5

تاريخ القبول: 2006/2/14

### الخلاصة

تم في هذا البحث إجراء دراسة عملية ونظرية لمجمع شمسي خازن موشوري الشكل ، يمتاز المجمع بسهولة تصنيعه وكلفته المنخفضة نسبياً لإستغناؤه عن أغلب الأجزاء الرئيسية المستخدمة في السخانات الشمسية الإعتيادية ذو مقطع مثلث قائم الزاوية بسعة ( 190 Liter )، شملت الدراسة العملية إختبار المجمع تحت ظروف البيئة العراقية (مدينة بغداد) وعلى مدار أشهر السنة بتحميل وبدون تحميل وكذلك دراسة تأثير عدد الأغطية الزجاجية ، النتائج العملية بينت إمكانية تسخين الماء في شهر (شباط 3002) من (16 C°) ولغاية (44 C°) أي ما يعادل (28 C°) إرتفاع في درجة حرارة الماء ، الدراسة النظرية نظمت إعداد نموذج رياضي مبرمج ودراسة ظاهرة الحمل الحر للمجمع الشمسي باستخدام (CFD) (Computational of Fluid Dynamic) لحل معادلة الإستمرارية ومعادلتى الزخم ثنائية البعد ومعادلة إنتقال الطاقة، وقد بينت النتائج النظرية التصرف الفيزيائي المتوقع وتقاربه مع النتائج العملية.

### Abstract

An experimental and theoretical study was done in this investigation for the solar collector storage pyramidal right triangular cross sectional area with (190 Liter) capacity. The experimental study concluded tests under environmental conditions of Baghdad through a year with and without load and also the effect of the number of glass covers. The experimental results shows the ability to heat water from (16 C°) to (44 C°) which this means (28 C°) temperature rise at February (2003). The theoretical study consist of a numerical model which was used to study consist of a numerical model which was used to study the natural convection for the solar collector by making us (C.F.D) (Computational Fluid Dynamic) to solve the two dimensional continuity, momentum and energy equation. The theoretical results shows a good a germinate between the predicted and the actual results.

### الرموز

$\alpha$	الانتشارية الحرارية ( $m^2/s$ )	$u, v$	السرعة الأفقية والعمودية ( $m$ )
$\beta$	معامل التمدد الحجمي	$U, V$	السرعة اللابعدية الأفقية والعمودية
$q$	كثافة الفيض الحراري ( $w/m^2$ )	$x, y$	الإحداثي الأفقي والعمودي
$\psi, \phi$	سرعة إفتراضية ( $m/s$ )	$X, Y$	الإحداثي اللابعدى الأفقي والعمودي
$\omega, \Omega$	دالة الإنسياب البعدية واللابعدية	$\zeta, \eta$	الإحداثيات اللابعدية العمودية
$\psi, \phi$	الدوامية البعدية واللابعدية	$L_i$	المسافة اللابعدية المساعدة

\* قسم هندسة المكاتن والمعدات / الجامعة التكنولوجية، بغداد - العراق.

دراسة عملية وعددية لمجمع شمسي خازن  
موشوري الشكل ذو مقطع مثلث قائم الزاوية

$\tau$	الزمن اللابعدي
$Re$	عدد رينولدز ويساوي $(Lu/v)$
$Pr$	عدد برانتل ويساوي $(v/a)$
$Gr$	عدد كراشوف ويساوي $(g\beta qL/kv)$
$Pe$	عدد بكلت
$\mu$	اللزوجة الديناميكية $(N.S/m^2)$

$L_1, L_2$	المسافة الكلية اللابعدي في الاتجاهين
$T, \theta$	درجة الحرارة البعدية واللابعدي
$K$	الموصلية الحرارية $(W/m.C)$
$\rho$	كثافة الماء $(kg/m^3)$
$C_p$	الحرارة النوعية للماء $(kj/kg.k)$

### تصميم المنظومة

تتكون منظومة التسخين الشمسية المنزلية ، ذات الدوران الطبيعي والتسخين المباشر من مجمع شمسي خازن يستخدم للتجميع والخزن في أن واحد ، تم تصميم وتصنيع المنظومة بشكل موشوري ذو مقطع مثلث قائم الزاوية وذلك لتوفير زاوية ميل للمجمع مقدارها  $(45^\circ)$  لميلان المجمع لمدينة بغداد خلال فترة الشتاء . الصورة الفوتوغرافية (1) والمخطط شكل (2) يوضحان المظهر العام للمنظومة الشمسية . أبعاد المجمع الشمسي  $(70 \times 70 \times 80 \text{cm})$  يعطي المجمع حجماً مقداره (190) لتر من الماء .

صنع الخزان وصفيحة الإمتصاص من مادة الحديد المغلون بسبك (1.25 mm) لعدة اعتبارات منها جعله يتحمل وزن وضغط الماء ولتفادي حدوث عملية الإنتفاخ التي تحصل نتيجة إمتلاء الخزان بالماء ، تم طلاء صفيحة الإمتصاص بطلاء أسود داكن غير لامع (بافتراض أنه إمتصاصية مقدارها 0.96 وإبعاثية مقدارها 0.81). أستعمل غطاء من زجاج الشبانيك العادي بسبك (4mm) مثبت داخل إطار بواسطة معجون خاص لمنع تسرب الهواء الساخن من داخل الحيز الهوائي ، كذلك وضع إطار متحرك يحتوي على طبقة من الزجاج بنفس السمك السابق وذلك لفحص أداء المجمع بغطاء مفرد ومزدوج وإبقيت المسافة بين المحصورة الغطاء الزجاجي صفيحة الإمتصاص مساوية إلى (2.5 cm) وتبعاً لعدة مصادر [2] فإن هذه المسافة تعطي أفضل عزل لإنتقال الحرارة بواسطة الحمل والشعاع من سطح الإمتصاص الحار نسبياً إلى الزجاج

### المقدمة

يعد تسخين المياه أحد التطبيقات المهمة في استغلال الطاقة الشمسية ، حيث تشير الدراسات إلى أن منظومات تسخين المياه تساهم في توفير الاحتياجات المنزلية من الماء الساخن بنسبة (40 - 70 %) اعتماداً على نوع التصميم وكفاءة هذه المنظومات والظروف المناخية [1]. من المعروف أن كلفة سخانات الشمسية تعد العقبة الأساس في إنتشارها وإستعمالها على نطاق واسع، لذلك تم في هذا البحث جراء فحص لإداء مجمع شمسي خازن موشوري ذو مقطع مثلث قائم الزاوية. يمتاز المجمع بسهولة تصنيعه وكلفته المنخفضة نسبياً وذلك لإستغنائها عن أغلب الأجزاء الرئيسية المستخدمة في سخانات الشمسية الاعتيادية. التصميم الحالي المقترح والذي تم تنفيذه من خلال البحث تم الإستفادة من ظاهرة التدرج الحراري التي تحصل في المجمع بسبب فرق الكثافة والتي تعطي إمكانية سحب الحرارة المطلوبة من الجزء الساخن للمجمع وإضافة كمية أخرى من الماء الجديد للجزء البارد من الخزان وهذا ما يجعل المجمع يعمل بكفاءة . الجانب النظري من البحث تظمن إعداد نموذج رياضي لدراسة ظاهرة الحمل الحر داخل المجمع الشمسي بإستخدام طريقة (النوامة - دالة الإنسياب) (Vorticity and Stream Function) والتي تؤدي إلى إبدال التعامل مع معادلة الإستمرارية ومعادلتَي الزخم بإتجاه  $(x,y)$  إلى حل معادلتين فقط هما معادلة نقل الدوامة ومعادلة الإنسياب بالإضافة إلى معادلة إنتقال الحرارة.

دراسة عملية وعددية لمجمع شمسي خازن  
موشوري الشكل ذو مقطع مثلث قائم الزاوية

حرارة الغطاء الزجاجي، درجة حرارة الماء الداخل والخارج من السخان). قسم البحث إلى جزئين، يتضمن الجزء الأول فحص أداء المجمع بدون تحميل أي بدون سحب للماء باستعمال عطائين زجاجيين أو غطاء زجاجي واحد وإيجاد معدل درجة حرارة الماء والكفاءة لكلا الحالتين. أما الجزء الثاني فيتضمن تقييم أداء المجمع الشمسي بوجود تحميل أي سحب للماء بكميات عشوائية مختلفة. تبدأ كافة التجارب عند الساعة الثامنة صباحاً وتستمر إلى الساعة الخامسة أو السادسة وحسب الموسم. وكان يتم في بداية كل تجربة ملء المجمع بماء جديد وتنظيف الغطاء الزجاجي وفحص الأجهزة ونقاط التوصيل للمزدوجات الحرارية.

#### التمودج الرياضي

أن المعادلات التي تصف انتقال الزخم والطاقة في حالة الحمل الحر للجريان الطباقية ثنائي البعد داخل حيز مغلق وبإهمال التبدد اللزج ومن دون توليد حرارة وباعتبار ان المائع لا انضغاطي تكتب بالشكل التالي [3]:-

$$\frac{\partial u}{\partial x} + \frac{\partial v}{\partial y} = 0 \quad (1)$$

$$\frac{\partial u}{\partial t} + u \frac{\partial u}{\partial x} + v \frac{\partial u}{\partial y} = -\frac{1}{\rho} \frac{\partial p}{\partial x} + \nu \left( \frac{\partial^2 u}{\partial x^2} + \frac{\partial^2 u}{\partial y^2} \right) \quad (2a)$$

$$\frac{\partial v}{\partial t} + u \frac{\partial v}{\partial x} + v \frac{\partial v}{\partial y} = -\frac{1}{\rho} \frac{\partial p}{\partial y} + \nu \left( \frac{\partial^2 v}{\partial x^2} + \frac{\partial^2 v}{\partial y^2} \right) - g\beta\Delta T \quad (2b)$$

البارد. تم عزل المجمع من الأسفل والجوانب بطبقة من الصوف الزجاجي بسبك ( 7.5cm ) للحد من الخسائر الحرارية.

#### توزيع نقاط قياس درجات الحرارة داخل المجمع

لتقييم أداء المجمع لابد من قياس درجة حرارة الماء داخله والتي تعطى مؤشراً رئيسياً لقياس الطاقة الحرارية المفيدة المستخلصة من المجمع الشمسي وبالتالي تحديد كفاءة المنظومة . تم توزيع نقاط المزدوجات الحرارية داخل المجمع كالآتي :-

درجة حرارة الغطاء الزجاجي في نقطتين من الخارج ونقطتين من الداخل.  
درجة حرارة السطح الماص في خمسة نقاط طولية.

درجة حرارة الماء داخل السخان وذلك بتثبيت إحدى وعشرين نقطة قياس باستخدام شبكة معدنية توضع داخل المجمع الشمسي فتقسمه إلى سبعة أقسام متساوية في الارتفاع لكنها مختلفة في المساحة بحكم ميلان السطح الماص ، تثبت المزدوجات الحرارية في منتصف كل مساحة مسن تلك المساحات لتمثل معدل درجات الحرارة في ذلك الجزء من المجمع ، والشكل رقم (3) يوضح كيفية توزيع المزدوجات الحرارية داخل المجمع .

#### أسلوب فحص السخان

تم اختبار السخان الشمسي تحت الظروف المختلفة لمدينة بغداد ، وأجريت التجارب على المجمع الذي يميل بزاوية مقدارها (45°) درجة عن الأفق وموجه باتجاه الجنوب الجغرافي خلال فصلي الشتاء والصيف ، ابتداء من شهر شباط إلى شهر أيلول من عام (2003). أجريت الاختبارات في أيام مختلفة وبلغ عدد التجارب أربعون تجربة حيث دونت القراءات في كل ساعة لجميع المتغيرات وهي (درجة حرارة الماء، درجة حرارة الهواء، درجة حرارة صفيحة الإمتصاص، درجة

دراسة عملية وعددية لمجمع شمسي خازن  
موشوري الشكل ذو مقطع مثلث قائم الزاوية

$$Pr = Cp u / k$$

$$Pe = Re Pr$$

قيمة افتراضية صغيرة تقترب من الصفر  
باستخدام الفرضيات اللابعدية أعلاه فإن  
معادلتى دالة الانسياب ونقل الدوامية تكتب  
بالصيغة التالية :

$$\frac{\partial^2 \psi}{\partial x^2} + \frac{\partial^2 \psi}{\partial y^2} = -\omega \quad (5)$$

$$\left( \frac{\partial \omega}{\partial \tau} + \frac{\partial \psi}{\partial Y} \frac{\partial \omega}{\partial X} - \frac{\partial \psi}{\partial X} \frac{\partial \omega}{\partial Y} \right) = \frac{Gr}{Re^2} \left( \frac{\partial \theta}{\partial X} \right) + \frac{1}{Re} \left( \frac{\partial^2 \omega}{\partial X^2} + \frac{\partial^2 \omega}{\partial Y^2} \right) \quad (6)$$

نفرض للحمل الحر (Re = 1)  
كذلك فإن معادلة الطاقة ومن دون توليد حرارة  
ومن دون إشعاع وبإهمال التبدد اللزج تكون  
بالشكل الآتي:

$$\left( \frac{\partial \theta}{\partial \tau} + \frac{\partial \psi}{\partial Y} \frac{\partial \theta}{\partial X} - \frac{\partial \psi}{\partial X} \frac{\partial \theta}{\partial Y} \right) = \frac{1}{Pe} \left( \frac{\partial^2 \theta}{\partial X^2} + \frac{\partial^2 \theta}{\partial Y^2} \right) \quad (7)$$

استخدم نظام مطابقة إحداثيات الجسم لتوليد  
الشبكة ذات الإحداثيات العامة (  $\zeta, \eta$  ) بدلا  
من استخدام نظام الإحداثيات الديكارتيية (  $x, y$  )  
بفرض عدم تغير درجات الحرارة على  
طول المحور (z) والذي يمثل عمق المجمع  
الشمسي. باستخدام معادلات التحويل إلى  
الإحداثيات العامة (  $\zeta, \eta$  ) الآتية :-

$$\frac{\partial f}{\partial x} = \frac{1}{J} [y_{\eta} f_{\zeta} - y_{\zeta} f_{\eta}] \quad (8)$$

$$\frac{\partial f}{\partial x} = \frac{1}{J} [x_{\eta} f_{\zeta} - x_{\zeta} f_{\eta}] \quad (9)$$

حيث أن (J) هو مصفوفة جاكوبي (Jacobian  
Matrix) :-

$$J = x_{\zeta} y_{\eta} - x_{\eta} y_{\zeta} \quad (10)$$

$$\frac{\partial T}{\partial t} + u \frac{\partial T}{\partial x} + v \frac{\partial T}{\partial y} = \alpha \left( \frac{\partial^2 T}{\partial x^2} + \frac{\partial^2 T}{\partial y^2} \right) \quad (3)$$

حيث أن المعادلة (1) تمثل معادلة الاستمرارية  
والمعادلتان (2a) و(2b) تمثلان معادلتا الزخم  
باتجاه (x) و(y) أما المعادلة (3) فتتمثل معادلة  
الطاقة. أنظر الشكل (b - 4) لتحديد الظروف  
الحدية.

### طريقة (الدوامية - دالة الانسياب) Vorticity and Stream Function Method

ان الصعوبة المرتبطة مع عملية إيجاد الضغط  
أدت إلى إيجاد طريقة تؤدي إلى حذف حد  
الضغط من المعادلات الحاكمة وذلك عن  
طريق الاشتقاق المتعاكس ومن تعريف معادلة  
الاستمرارية ودالة الانسياب للسرعة الأفقية  
والعمودية يمكن الحصول على معادلة نقل  
الدوامية والتي تكتب بالشكل النهائي التالي:

$$\frac{\partial \Omega}{\partial t} + \frac{\partial \phi}{\partial y} \frac{\partial \Omega}{\partial x} - \frac{\partial \phi}{\partial x} \frac{\partial \Omega}{\partial y} = \nu \left( \frac{\partial^2 \Omega}{\partial x^2} + \frac{\partial^2 \Omega}{\partial y^2} \right) + g\beta \left( \frac{\partial T}{\partial x} \right) \quad (4)$$

أن لهذه الطريقة بعض الخواص الفعالة فعلاوة  
على عدم ظهور حد الضغط في المعادلات  
الحاكمة ، يتم حل معادلتين فقط للحصول على  
دالة الانسياب والدوامية بدلا من التعامل مع  
معادلة الاستمرارية ومعادلتى الزخم .  
لكتابة المعادلات بصيغة لا بعدية ، تعرف أولا  
المقادير اللابعدية وبالشكل التالي [4] .

$$X = x / L \quad , \quad Y = y / L$$

$$\tau = t u_0 / L$$

$$V = v / u \quad U = u / u_0$$

$$\theta = (t - t_{in}) k / q L$$

$$\Psi = \phi / u_0 L$$

$$\omega = \phi L / u_0$$

$$Re = u_0 L / \nu$$

$$Gr = g \beta q L^4 / \nu k$$

الدوامية على سطوح الجدران فلا يتم معالجتها على نحو يسير طالما أن قيمتها تعتمد على متوسط مكونات السرعة والتي تكون مجهولة حتى نهاية الحسابات إذ يعد معرفة قيمتها جزءا من الحل. والشكل (4) يبين الظروف الحدية المستخدمة في حل المعادلات الحاكمة.

#### الحل العددي

تم استخدام الحل العددي لإيجاد النتائج النهائية للخواص الفيزيائية التي تخص ظاهرة الحمل الطبيعي خلال حيز مغلق مثلث الشكل، تم استخدام الطريقة الواضحة أو الصريحة ( *Explicit Method* ) في حل معادلتني نقل الدوامية ودرجة الحرارة وهما معادلتني قطع مكافئ، أما بالنسبة لدالة الانسياب فقد تم حلها باستخدام طريقة الأرخاء اعتمادا على قيمة الدوامية القديمة، وتعد عملية التكرار حتى يصل الحل إلى الحالة المستقرة. تم تحويل المعادلات التفاضلية اللاخطية الحاكمة للجريان إلى معادلات جبرية خطية باستخدام طريقة الفروقات المحددة، والتي تعد الأساس أو المنطلق لعملية الحل العددي. باستخدام الفروق المتقدمة للمشتقة الزمنية والفروقات المركزية للحدود الحمل والانتشار تصبح المعادلات الحاكمة بالشكل التالي :-

تم الحصول على نقاط الشبكة الداخلية من خلال استخدام معادلات جبرية بعد إعطاء القيم الحدية التي من خلالها سيتم بناء وتوليد الشبكة التي تخص الشكل الهندسي، في دراستنا الحالية الخطوة الأولى هو تحديد الطول اللابعدي الكلي باتجاه (x, y) والذي يمكننا من الحصول على زاوية الميلان المثلى، وعليه فإن الحدود التي تم إعطاؤها للحصول على الشبكة المبينة في الشكل (4)، هما (L1 = 1, L2 = 1) أما (L3 = ..1) فهي مسافة صغيرة جدا لا تؤثر على الحل ولكنها مهمة في بناء الشبكة، أما الخطوة الثانية فيتم فيها تعيين عدد النقاط المعطاة باتجاه (x) وباتجاه (y). حيث كان عدد النقاط المعطى هو (31, 31) بما يحقق استقرارية الحل العددي. أما الخطوة الثالثة فيتم فيها حساب المسافة بين التقسيمات التي تمثل (dx, dy) ومن ثم حساب كل النقاط بما يلائم موقعها من نقطة الأصل.

الظروف الابتدائية المستخدمة في حل كل من معادلة درجة الحرارة ونقل الدوامية ودالة الانسياب تؤخذ عند (τ = 0) حيث أن (ψ = θ = ω = 0). أما الشروط الحدية فهي مطلوبة لكل حدود مجال الحسابات، بشكل عام فإن دالة الانسياب (Stream function) على سطوح الجدران تكون قيمتها ثابتة ومساوية للصفر باعتبار أن السرعة بالاتجاهين الأفقي والعمودي تكون تقريبا مساوية إلى الصفر. أما

$$\begin{aligned} \omega_{(i,j)}^{n+1} = \omega_{(i,j)}^n + & \left[ \frac{\psi_{(i+1,j)}^n - \psi_{(i-1,j)}^n}{2 \cdot \Delta \zeta} \cdot \frac{\omega_{(i,j+1)}^n - \omega_{(i,j-1)}^n}{2 \cdot \Delta \eta} - \frac{\psi_{(i,j+1)}^n - \psi_{(i,j-1)}^n}{2 \cdot \Delta \eta} \right. \\ & \left. \cdot \frac{\omega_{(i+1,j)}^n - \omega_{(i-1,j)}^n}{2 \cdot \Delta \zeta} \right] / J + \lambda_{(i,j)} \cdot \frac{\omega_{(i+1,j)}^n - \omega_{(i-1,j)}^n}{2 \cdot \Delta \zeta} - \sigma_{(i,j)} \cdot \frac{\omega_{(i,j+1)}^n - \omega_{(i,j-1)}^n}{2 \cdot \Delta \eta} + \\ & \alpha_{(i,j)} \cdot \frac{\omega_{(i+1,j)}^n - 2 \cdot \omega_{(i,j)}^n + \omega_{(i-1,j)}^n}{\Delta \zeta^2} - 2 \cdot \beta_{(i,j)} \cdot \frac{\omega_{(i+1,j+1)}^n - \omega_{(i+1,j-1)}^n + \omega_{(i-1,j+1)}^n + \omega_{(i-1,j-1)}^n}{4 \cdot \Delta \zeta \cdot \Delta \eta} \\ & + \gamma_{(i,j)} \cdot \frac{\omega_{(i,j+1)}^n - 2 \cdot \omega_{(i,j)}^n + \omega_{(i,j-1)}^n}{\Delta \eta^2} \left/ Re \cdot J_{(i,j)}^2 + \frac{Gr}{J Re^2} \left( \frac{\theta_{(i+1,j)}^n - \theta_{(i-1,j)}^n}{2 \cdot \Delta \zeta} \right) \right. \end{aligned} \quad (11)$$

والانتشار بالإضافة إلى حد الزمن من صيغتها  
التفاضلية إلى معادلات جبرية وكما يلي:

أما بالنسبة لمعادلة درجة الحرارة فيتم استخدام  
الأسلوب نفسه في تحويل حدود الحمل

$$\theta_{(i,j)}^{n+1} = \theta_{(i,j)}^n + \left[ \left( \frac{\theta_{(i+1,j)}^n - \theta_{(i-1,j)}^n}{2 \cdot \Delta \zeta} \cdot \frac{\theta_{(i,j+1)}^n - \theta_{(i,j-1)}^n}{2 \cdot \Delta \eta} - \frac{\theta_{(i,j+1)}^n - \theta_{(i,j-1)}^n}{2 \cdot \Delta \eta} \right. \right. \\ \left. \left. + \frac{\theta_{(i-1,j)}^n - \theta_{(i-1,j-1)}^n}{2 \cdot \Delta \zeta} \right) / J + \lambda_{(i,j)} \cdot \frac{\theta_{(i+1,j)}^n - \theta_{(i-1,j)}^n}{2 \cdot \Delta \zeta} - \sigma_{(i,j)} \cdot \frac{\theta_{(i,j+1)}^n - \theta_{(i,j-1)}^n}{2 \cdot \Delta \eta} + \right. \\ \left. \alpha_{(i,j)} \cdot \frac{\theta_{(i+1,j)}^n - 2 \cdot \theta_{(i,j)}^n + \theta_{(i-1,j)}^n}{\Delta \zeta^2} - 2 \cdot \beta_{(i,j)} \cdot \frac{\theta_{(i+1,j+1)}^n - \theta_{(i+1,j-1)}^n + \theta_{(i-1,j+1)}^n + \theta_{(i-1,j-1)}^n}{4 \cdot \Delta \zeta \cdot \Delta \eta} \right. \\ \left. + \gamma_{(i,j)} \cdot \frac{\theta_{(i,j+1)}^n - 2 \cdot \theta_{(i,j)}^n + \theta_{(i,j-1)}^n}{\Delta \eta^2} \right] / Re \cdot J_{(i,j)}^2 \quad (12)$$

أما معادلة دالة الانسياب فنكتب عددياً بالشكل  
التالي:-

$$\lambda_{(i,j)} \cdot \frac{\psi_{(i+1,j)}^n - \psi_{(i-1,j)}^n}{2 \cdot \Delta \zeta} - \sigma_{(i,j)} \cdot \frac{\psi_{(i,j+1)}^n - \psi_{(i,j-1)}^n}{2 \cdot \Delta \zeta} + \\ \alpha_{(i,j)} \cdot \frac{\psi_{(i+1,j)}^n - 2 \cdot \psi_{(i,j)}^n + \psi_{(i-1,j)}^n}{\Delta \zeta^2} + \gamma_{(i,j)} \cdot \frac{\psi_{(i,j+1)}^n - 2 \cdot \psi_{(i,j)}^n + \psi_{(i,j-1)}^n}{\Delta \eta^2} \quad (13) \\ - 2 \cdot \beta_{(i,j)} \cdot \frac{1}{2 \Delta \zeta} \left( \frac{\psi_{(i+1,j+1)}^n - \psi_{(i+1,j-1)}^n}{2 \cdot \Delta \eta} - \frac{\psi_{(i-1,j+1)}^n + \psi_{(i-1,j-1)}^n}{2 \cdot \Delta \zeta} \right) \\ + J_{(i,j)}^2 \cdot \omega_{(i,j)} = Error = 0$$

الشكل (7) والشكل (8) يوضحان تغيير معدل  
درجة حرارة ماء المجمع خلال ساعات النهار  
للأيام المختارة والموضحة في الأشكال  
المذكورة، حيث نلاحظ أن معدل درجة حرارة  
الماء في زيادة مستمرة حتى نهاية التجربة  
(عند المساء)، وهو مطابق لما ورد في عدة  
مصادر [5] من حيث الزيادة الساعية ولكنها  
مختلفة بالقيمة وهذا بالتأكيد بسبب الاختلاف في  
تصميم المجمع الخازن والظروف الجوية.  
إن كمية الطاقة المخزنة هي في زيادة  
مستمرة خلال فترة الاختبار تبعاً لزيادة معدل  
درجة حرارة الماء والشكل (9) والشكل (10)

#### النتائج والمناقشة

الأشكال (5) و(6) توضح العلاقة بين شدة  
الإشعاع الشمسي والطاقة الحرارية المكتسبة  
النظرية والحقيقية لأيام مختلفة صيفاً وشتاءاً  
حيث نلاحظ زيادة تدريجية في شدة الإشعاع  
الشمسي إلى أن يصل إلى أعلى قيمة له عند  
منتصف النهار ثم بعد ذلك يبدأ بالانخفاض  
التدريجي، ويلاحظ أيضاً الشكل العام لتصرف  
الطاقة النافعة حيث تزداد قيمتها تدريجياً حتى  
منتصف النهار، حيث نلاحظها تتبع شدة  
الإشعاع الشمسي ولكن يفارق وهذا الفارق هو  
الذي يحدد كفاءة المجمع.

دراسة عملية وعددية لمجمع شمسي خازن  
موشوري الشكل ذو مقطع مثلث قائم الزاوية

الخازن لكل ساعة من ساعات النهار في حالة عدم وجود حمل (عدم سحب ماء من المجمع). أن توزيع درجات الحرارة يوضحه الشكل (15) حيث تم رسم توزيع درجات الحرارة لساعات مختلفة من النهار ، يلاحظ من الأشكال المذكورة التغير المستمر في التدرج الحراري بسبب الفرق في كثافة مائع نقل الحرارة (الماء) نتيجة التسخين الشمسي وبسبب هذا الفرق في الكثافة يتم تحريك المائع وتطوره ذاتيا خلال المنظومة حيث ترتفع الطبقات الساخنة باستمرار إلى الجزء الأعلى من المجمع . أما الجريان فقد تم تمثيله بشكل خطوط دالة الانسياب (Stream Function) للمجال المحسوب إذ تم التعبير عن مجال السرعة سابقا بدلالة دالة الانسياب ، أن توزيع دالة الانسياب موضحة في الشكل (16) لساعات مختلفة من النهار ، حيث نلاحظ شكل ونمط الجريان داخل المجمع الذي يحدث بصورة ذاتية نتيجة التسخين الشمسي الذي يسبب فرق في الكثافة ، ومن ملاحظة الأشكال المذكورة نجد أن الشكل العام للجريان لا يتغير كثيرا مع ساعات النهار مع وجود تغير في قيمته ويعزى هذا التغير إلى السرعة الواطئة لجزيئات الماء.

من أجل التأكد من موثوقية النموذج الرياضي العددي تم إجراء مقارنة بين النتائج التي تم التوصل إليها والنتائج العملية والشكل (17) يوضح المقارنة التي أجريت لدرجات الحرارة ليوم (5 شباط)، ومن الشكل نلاحظ تقارب كبير في نمطية التصرف للنموذج الرياضي مع النتائج العملية من حيث التدرج الحراري والذي يعتبر الأساس في المجمعات الشمسية الخازنة.

#### الاستنتاجات

بينت النتائج العملية إمكانية استخدام هذا النوع من المجمعات في تجهيز الماء الساخن للأغراض المنزلية أو استخدامه كسخان ابتدائي للأغراض المنزلية والصناعية مما يساعد على ترشيد استهلاك الطاقة الكهربائية حيث أمكن

بوضوح تغير الطاقة المخزونة مع ساعات النهار لكل وحدة حجم خلال فترة الاختبار . توضح الأشكال (11) و (12) كيفية تغير الكفاءة العملية والنظرية للمجمع الشمسي مع ساعات النهار في حالة عدم وجود حمل ، حيث يلاحظ أن كفاءة السخان العملية تكون منخفضة خلال ساعات النهار الأولى وذلك لان الأشعة الشمسية الواصلة تكون قليلة في ذلك الوقت ، ومن ثم تبدأ بالزيادة حتى منتصف النهار تقريبا . والسبب في ذلك هو الارتفاع الحاصل في درجات الحرارة خلال المجمع وكذلك لقلة الطاقة المفقودة نسبيا في ذلك الوقت، بعد ذلك نقل الكفاءة الحقيقية للمجمع وخاصة بعد الساعة الواحدة أو الثانية ظهرا وحسب الموسم حيث تقل الطاقة الحرارية المتجمعة يقابلها زيادة في الخسائر الحرارية . نلاحظ من الشكل ( 13 ) تأثير معدل سحب الماء أثناء ساعات النهار على كفاءته ، حيث تم سحب كميات مختلفة من الماء بعد الساعة الواحدة من الجزء العلوي من المجمع حيث نلاحظ زيادة الكفاءة اليومية تدريجيا مع معدل سحب الماء من الخزان، وذلك بسبب زيادة الطاقة المتجمعة أو المكتسبة نتيجة الفرق الحاصل في درجات الحرارة بين صفيحة الإمتصاص والماء الجديد الذي يزود به السخان بعد كل عملية سحب للماء الساخن، أن استخدام أكثر من غطاء زجاجي يؤدي إلى تقليل الخسائر الحرارية وبالتالي زيادة كفاءة المجمع الشمسي ، أثبتت النتائج العملية انه عند استخدام غطاء زجاجي واحد فإن كفاءة المجمع الشمسي اليومية كانت ( 40 % ) بينما كانت ( 42 % ) في حالة استخدام غطاءين زجاجيين عند رسم الكفاءة الساعية مع ساعات النهار في حالة غطاء زجاجي واحد وغطاءين تحت ظروف متشابهة تقريبا ولنفس المجمع فإن الكفاءة في الحالة الأولى تكون أقل من الحالة الثانية والشكل (14) يوضح ذلك.

فيما يخص النتائج التي تم الحصول عليها من الأنموذج الرياضي فقد تم تمثيل توزيع درجات الحرارة والجريان خلال المجمع الشمسي

دراسة عملية وعقدية لمجمع شمسي خازن  
موشوري الشكل ذو مقطع مثلث قائم الزاوية

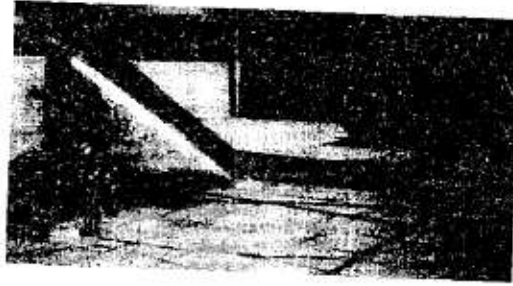
- 2 Jan F. Kreider, Frank Kreider, "Solar Heating and Cooling, Engineering Practical Design Economics", Hemisphere Publishing Corporation, 1977
- 3 Guo K. L., Wu S. T., "Numerical Study of Flow and Temperature Stratification in a Liquid Thermal Storage Tank "Journal of Solar Energy Engineering", Vol. 107/15, February 1985.
- 4 Prasad V., Kulacki F. A., "Natural Convection in a Rectangular Cavity with Constant Heat Flux on one Vertical Wall", Journal of Heat Transfer Vol. 106, pp. 152-157 February 1984.
- 5 Sodha M. S., Bansal P. K., Kaushik N. D., " Performance of Collector / Storage Solar Water Heaters: Arbitrary Demand Pattern" Energy Con. & Mgmt Vol. 21, pp. 229-238, 1984.

تسخين (190) لتر من الماء إلى درجات حرارة مختلفة اعتمادا على ظاهرة التدرج الحراري التي تحدث في المجمع ، فكانت أقصى درجة حرارة في اليوم الخامس من شباط هي ( 44 C° ) بينما أقل درجة حرارة كانت ( 28 C° ) وبمعدل درجة حرارة مقدارها ( 34 C° ) عندما كانت درجة حرارة الماء الابتدائية ( 16 C° ) وهذا يمثل رفع درجة حرارة الماء بمقدار ( 28 C° ) . برهنت النتائج بأن إضافة غطاء زجاجي ثاني سوف يقلل من الخسائر الحرارية وبالتالي يحسن من ارتفاع درجة الحرارة داخل المجمع وبينت النتائج أيضا أن كفاءة المجمع تزداد في حالة سحب الماء الساخن عندما يصل إلى درجة حرارته القصوى وإبداله بماء جديد .  
أظهرت النتائج النظرية والعملية تشابه في نمطية التصرف وتقارب في النتائج من حيث تدرج درجات الحرارة والحركة الدوامية للماء الساخن خلال المجمع الشمسي الهرمي الخازن.

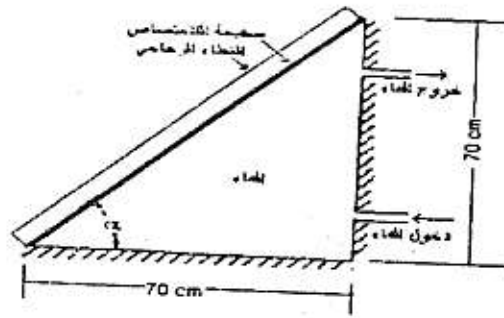
#### References

- 1 Merino, M., " How Solar Energy Was Accepted By Cyprus" , Sun World, vol. 9 , no. 2 ,pp. 53 1985.

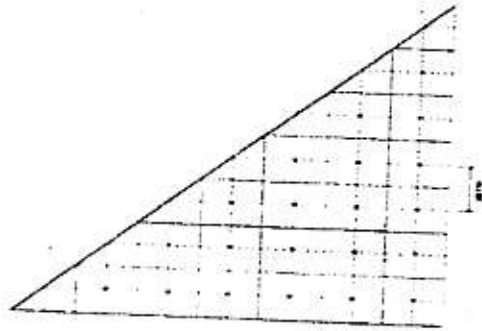




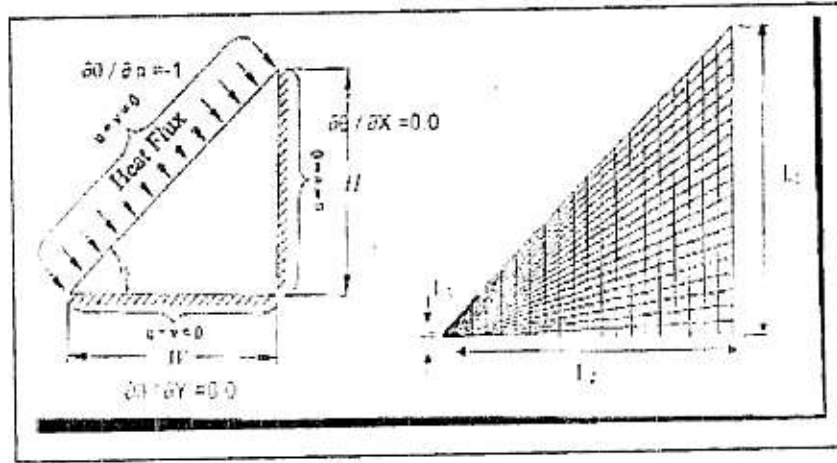
شكل (1) صورة فوتوغرافية للمجمع الشمسي الخازن



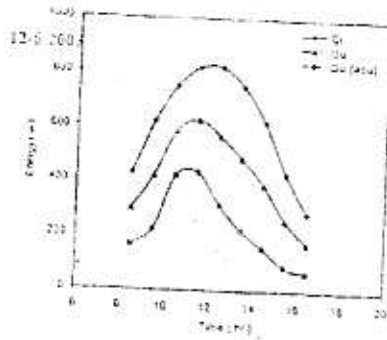
شكل رقم (2) يمثل مخطط للمجمع شمسي المستخدم



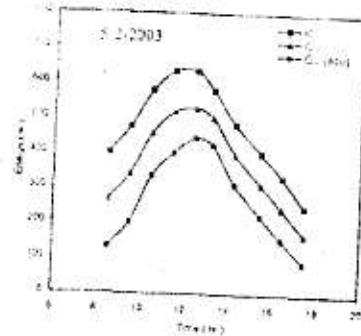
شكل رقم (3) مخطط يمثل كيفية توزيع المزدوجات الحرارية داخل المجمع



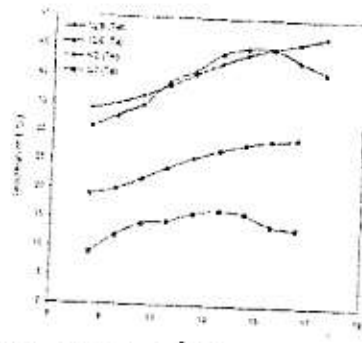
الشكل (4) a : يمثل الشبكة العددية، b: الشروط الحدية المستخدمة



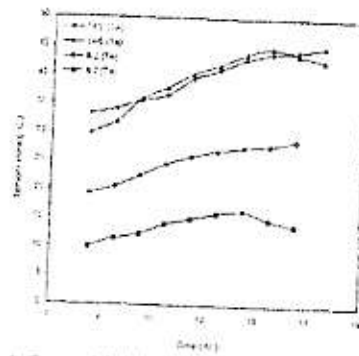
شكل (6) العلاقة بين كمية الإشعاع الشمسي وكمية الطاقة نظرياً والعملية



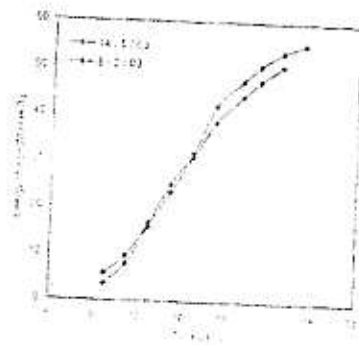
شكل (5) العلاقة بين كمية الإشعاع الشمسي وكمية الطاقة نظرياً والعملية



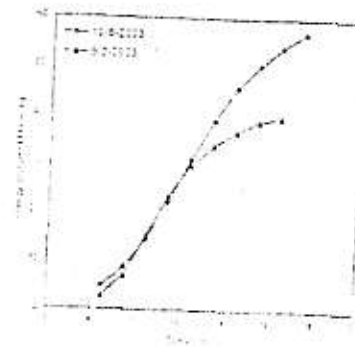
شكل (8) تغير معدل درجة حرارة الماء والهواء الخارجين مع الزمن



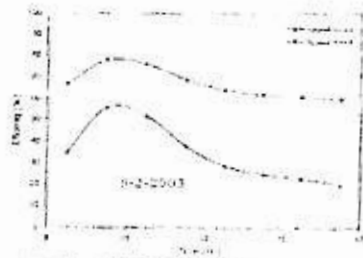
شكل (7) تغير معدل درجة حرارة الماء والهواء الخارجين مع الزمن



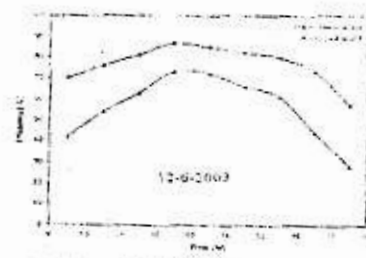
شكل (9) تغير كمية الحرارة المخزنة مع الزمن



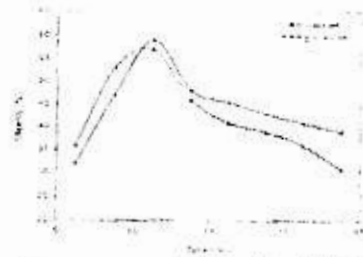
شكل (10) تغير كمية الحرارة المخزنة مع الزمن



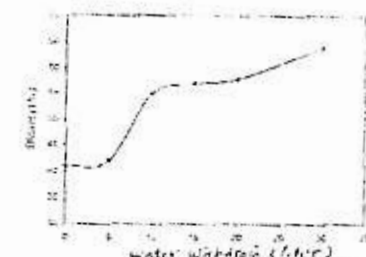
شكل (10) تغير الطاقة الشمسية والتجمعة مع ساعات اليوم



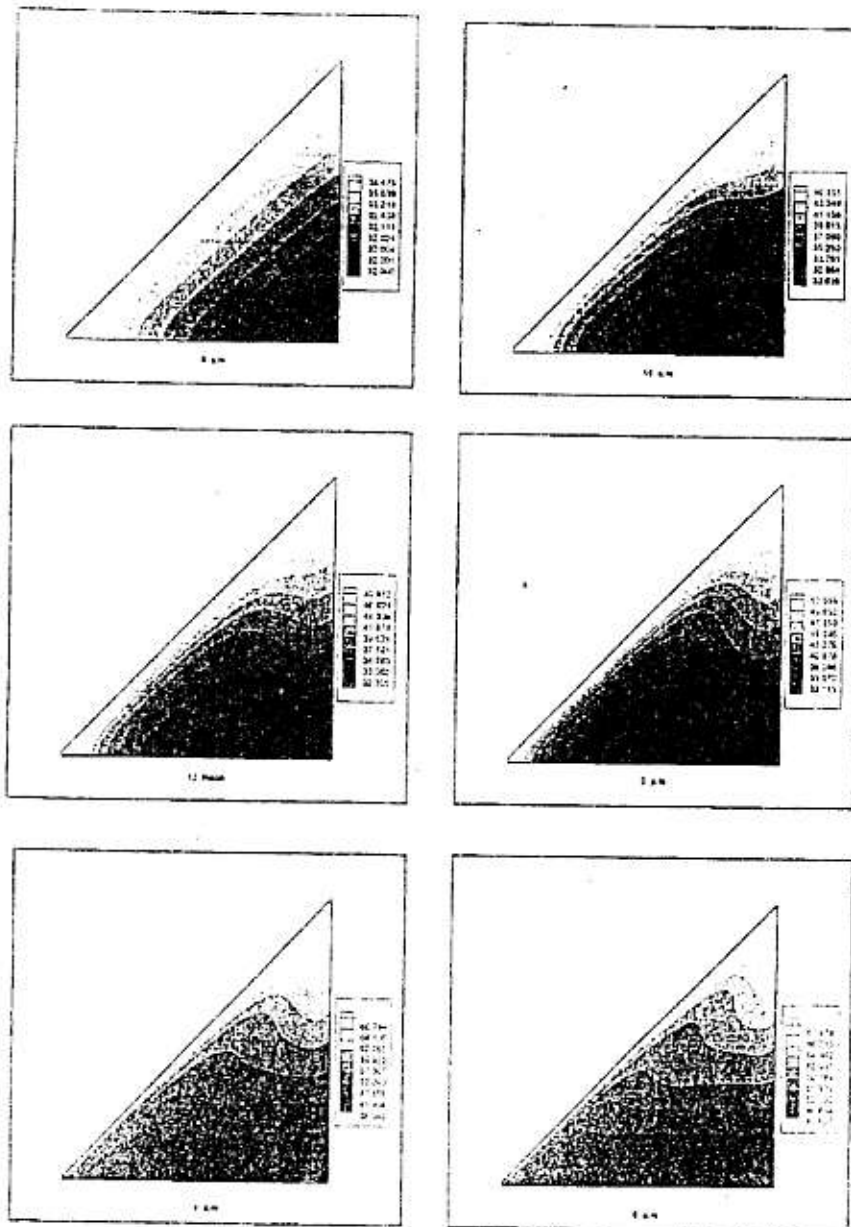
شكل (11) تغير الطاقة الشمسية والتجمعة مع ساعات اليوم



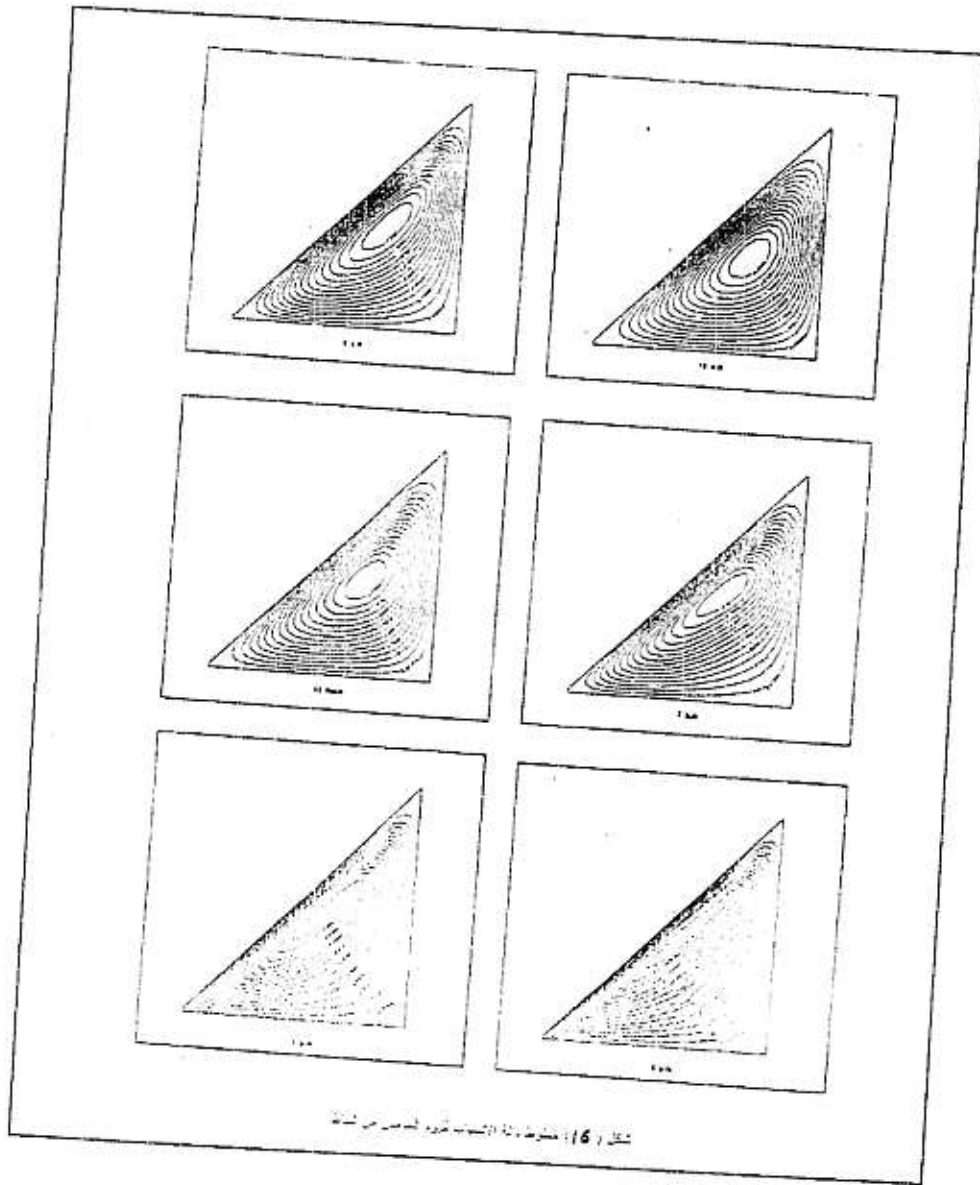
شكل (12) تغير الطاقة الشمسية والتجمعة مع ساعات اليوم



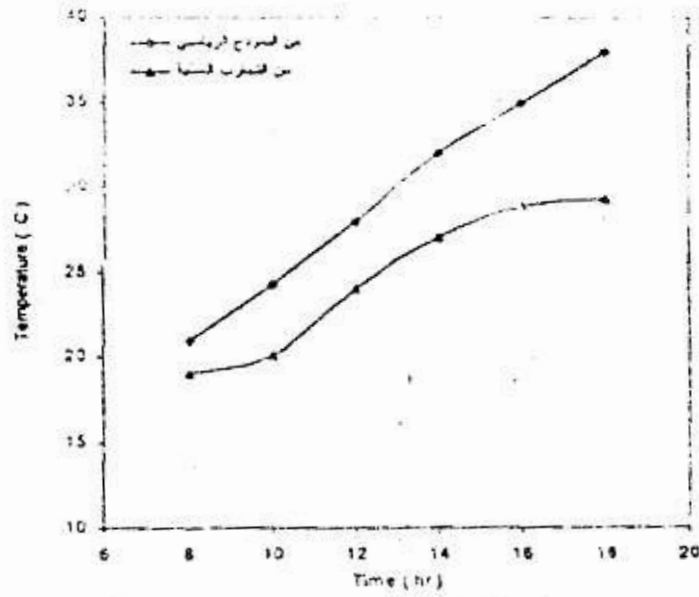
شكل (13) تغير حجم الماء من المجمع على مساحة التجمعة



شكل (15) ملامق تساوي درجات الحرارة داخل المجمع كتيوه لواقع عشر من حزيران



شكل (16) خطوط التوزيع لقرود الشمس من الساعة



شكل (17) مقارنة للنتائج العملية مع نتائج النموذج الريانسي  
ليوم (15-2-2003)